

Abb. 1: Schwermineralspektren und relative Häufigkeit der Magerungspartikel.

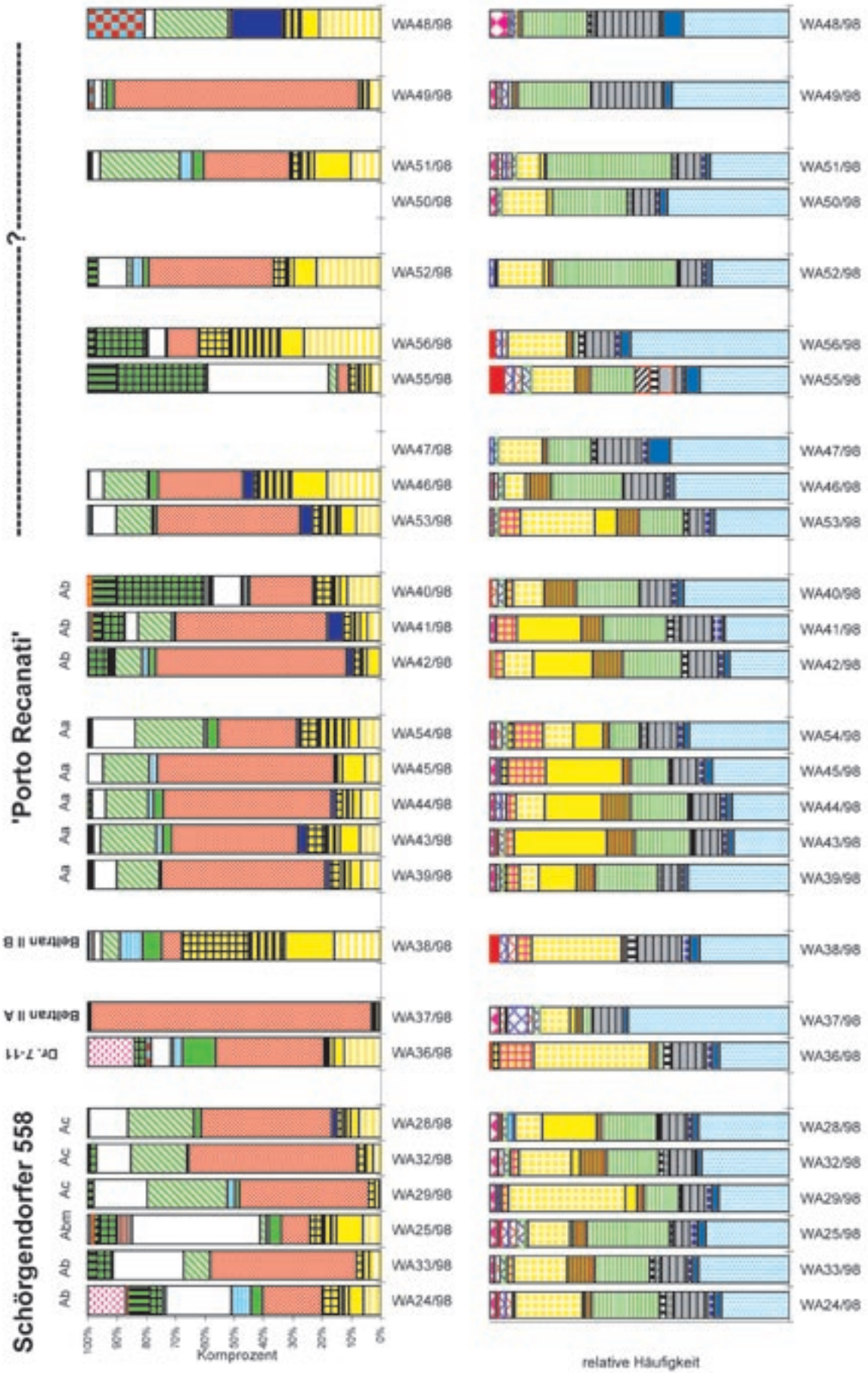


Abb. 1, Fortsetzung: Schwermineralspektren und relative Häufigkeit der Magerungspartikel.

LEGENDE ZUR SCHWERMINERALANALYSE

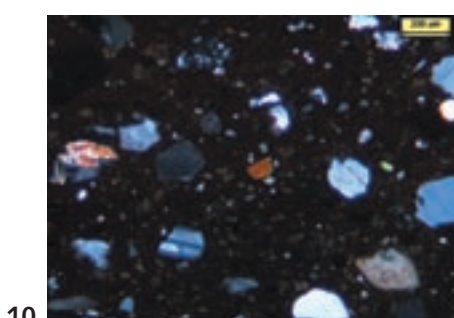
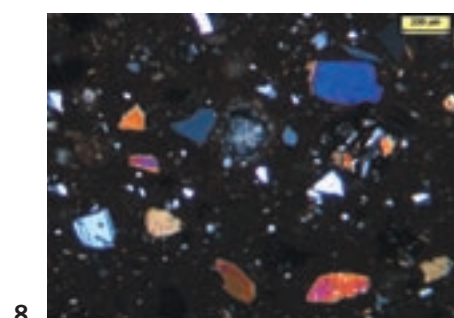
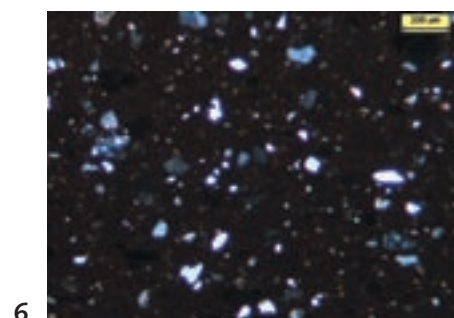
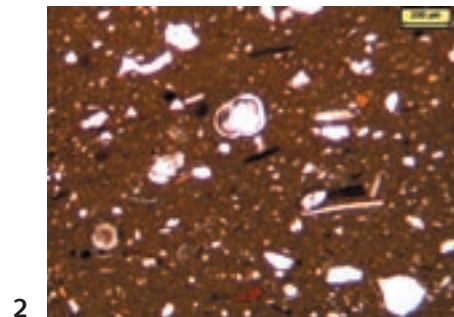
- | | |
|--------------------------|------------------------------|
| Brookit/Anatas | Titanit |
| Turmalin | Granat |
| Staurolith | Disthen |
| Epidot/Zoisit | Hornblende |
| Chloritoid | Andalusit |
| Chromspinell | Sillimanit |
| Klinopyroxen (augitisch) | Klinopyroxen (diopsidisch) |
| Melanit | unbestimmbare Schwerminerale |

LEGENDE ZU DEN IM DÜNNSCHLIFF UNTERSCHIEDENEN MAGERUNGSPARTIKELN

- | | |
|--|-------------------------------|
| Monokristalliner Quarz | Polykristalliner Quarz |
| Hornstein | Alkalifeldspat |
| Alkalifeldspat serizitisiert | Mikroklin |
| Perthit | Sanidin |
| Plagioklas | Albit |
| Plagioklas vulkanisch | Muskovit |
| Biotit | Karbonat |
| Karbonatpseudomorphosen | Foraminiferen |
| Karbonatische Biogene | kieselige Biogene |
| Siltstein/Sandsteinbröckchen | Tonbröckchen nicht resorbiert |
| Kristallinbruchstücke im Allgemeinen | Quarzit |
| Phyllit | Glimmerschiefer |
| übrige metamorphe Kristallinbruchstücke | Vulkanite |
| vulkanisches Glas braun | vulkanisches Glas farblos |
| Leuzit | Schwerminerale |
| verschlackte Partikel/Schamotte/verglast | |

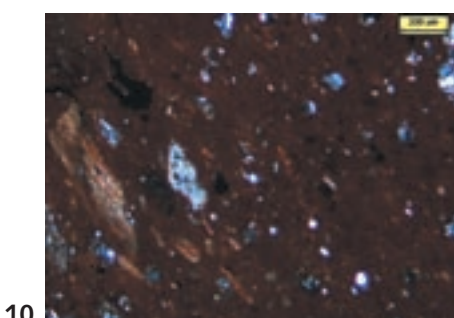
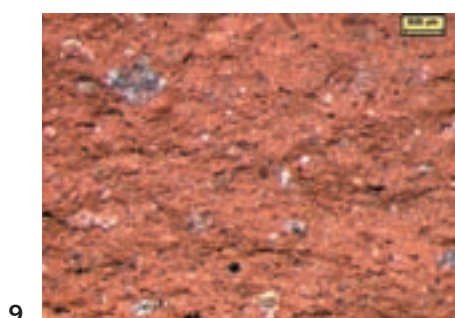
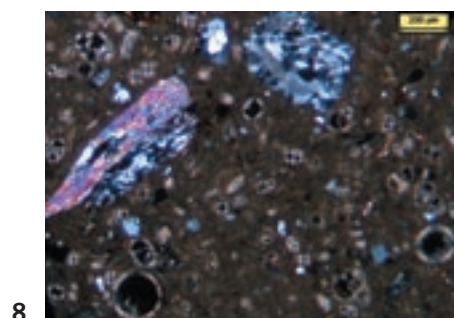
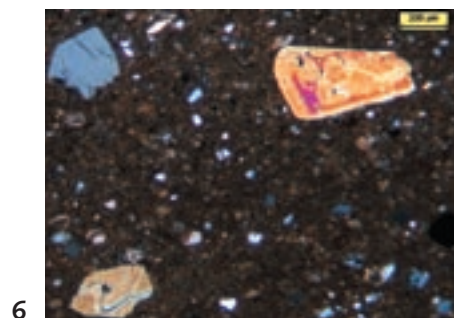
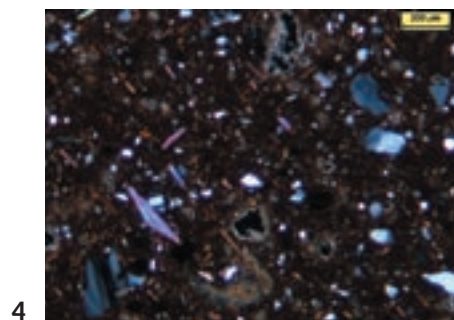
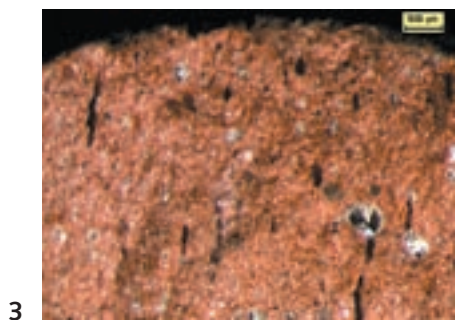
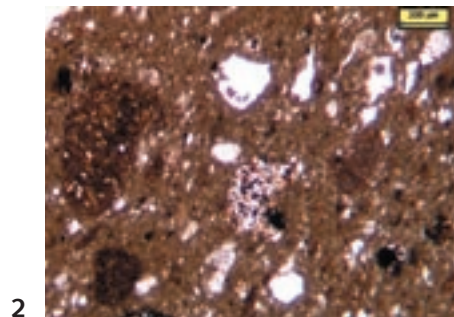
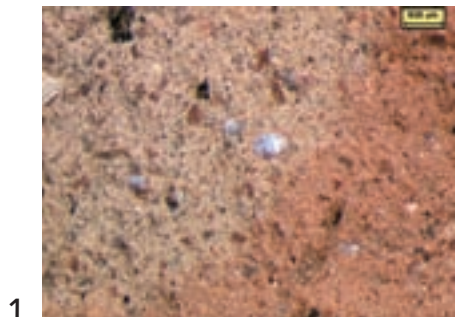
TAFEL 1

Mikrofotografien von Dünnschliffen und Scherbenbruchflächen von Dressel 2–4 Amphoren: 1–2: petrograph. Scherbentyp A (WA1/98); 3–4: petrograph. Scherbentyp B (WA7/98); 5–6: petrograph. Scherbentyp C (WA3/98); 7–8: petrograph. Scherbentyp D (WA4/98); 9–10: petrograph. Scherbentyp E (WA10/98).



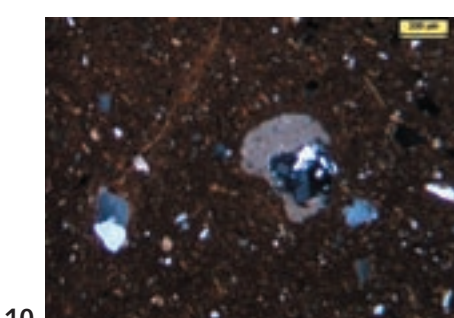
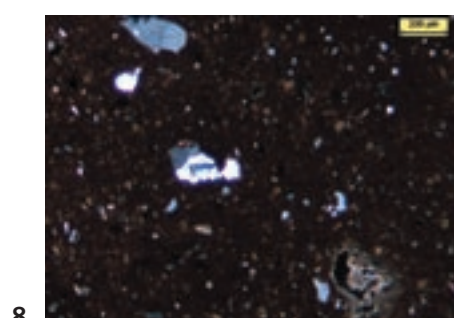
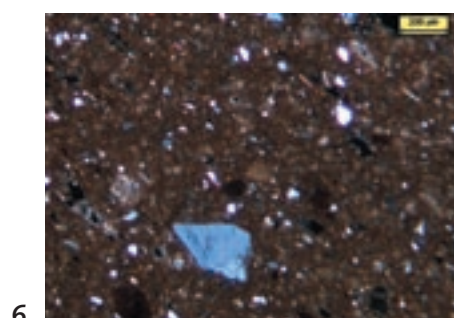
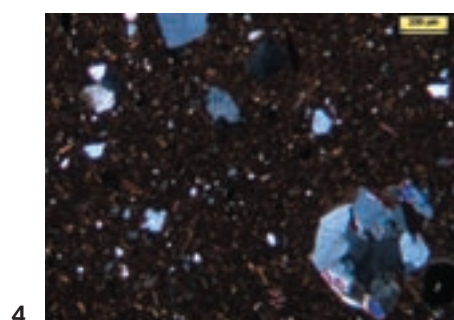
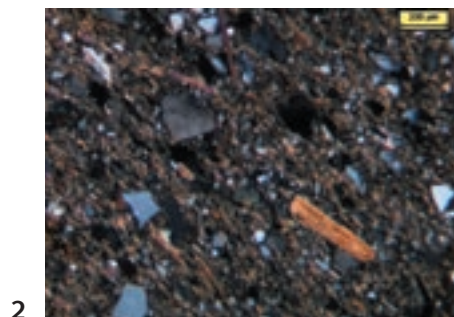
TAFEL 2

Mikrofotografien von Dünnschliffen und Scherbenbruchflächen von Dressel 2–4 Amphoren: 1–2: petrograph. Scherbentyp F (WA12/98); 3–4: petrograph. Scherbentyp G (WA13/98); 5–6: petrograph. Scherbentyp H (WA14/98); 7–8: petrograph. Scherbentyp I (WA8/98) sowie einer Knidos Amphore: 9–10: (WA16/98).



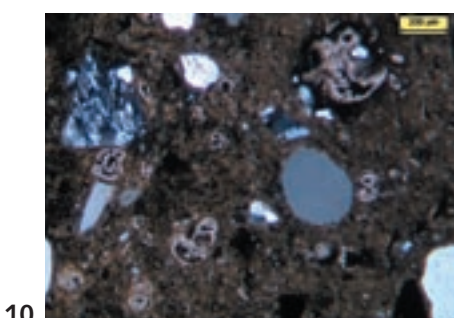
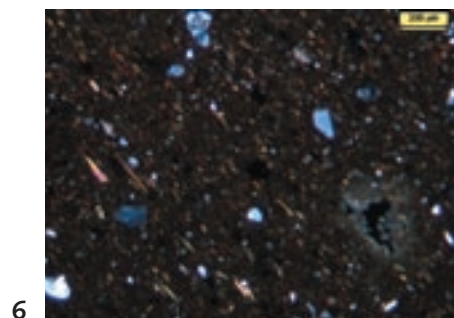
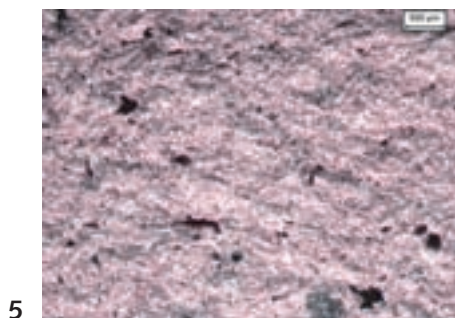
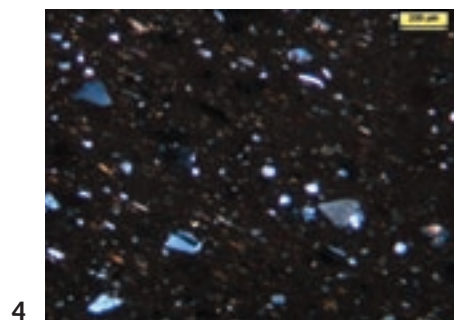
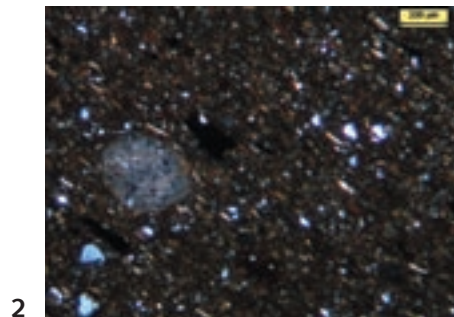
TAFEL 3

Mikrofotografien von Dünnschliffen und Scherbenbruchflächen von Kapitän II Amphoren: 1–2: (WA17/98); 3–4: (WA18/98) sowie von Gauloise 4 Amphoren: 5–10 (WA19/98–WA21/98).



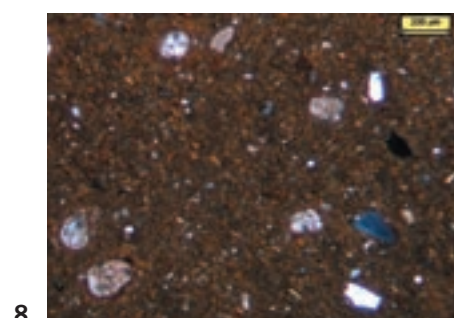
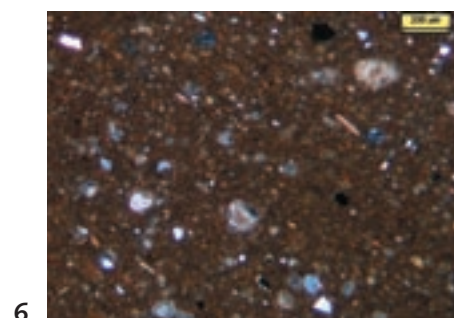
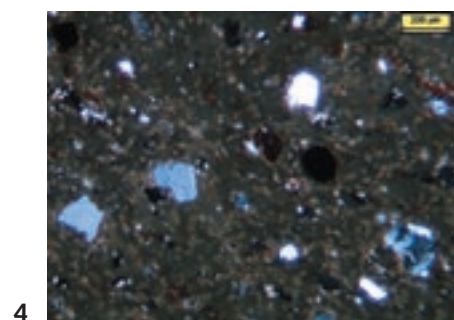
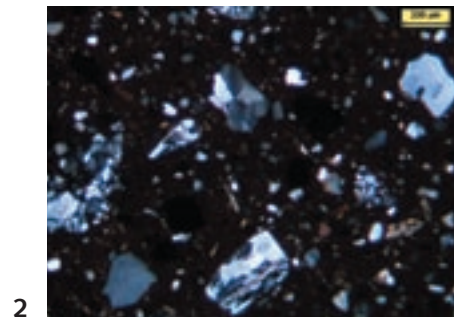
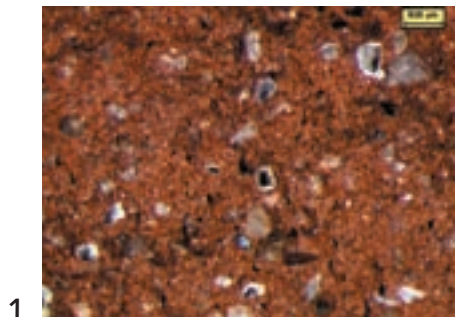
TAFEL 4

Mikrofotografien von Dünnschliffen und Scherbenbruchflächen von einer fraglichen Gauloise Amphore: 1–2: (WA22/98) sowie von Schörgendorfer 558 Amphoren: 3–4: petrograph. Scherbentyp Aa (WA26b/98); 5–6: petrograph. Scherbentyp Ab (WA31/98); 7–8: petrograph. Scherbentyp Ac (WA28/98) und einer Dressel 7–11 Amphore: 9–10: petrograph. Scherbentyp A (WA36/98).



TAFEL 5

Mikrofotografien von Dünnschliffen und Scherbenbruchflächen: 1–2: Beltran II A Amphore (WA37/98); 3–4: Beltran II B Amphore (WA38/98) sowie von Porto Recanati Amphoren: 5–6: petrograph. Scherbentyp Aa (WA43/98); 7–8: petrograph. Scherbentyp Ab (WA41/98) und einer fraglichen Amphore: 9–10: (WA55/98).



TAFEL 6

Mikrofotografien von Dünnschliffen und Scherbenbruchflächen von fraglichen Amphorentypen: 1–2: (WA56/98); 3–4: (WA50/98); 5–6: (WA51/98); 7–8: (WA49/98); 9–10: (WA48/98).

